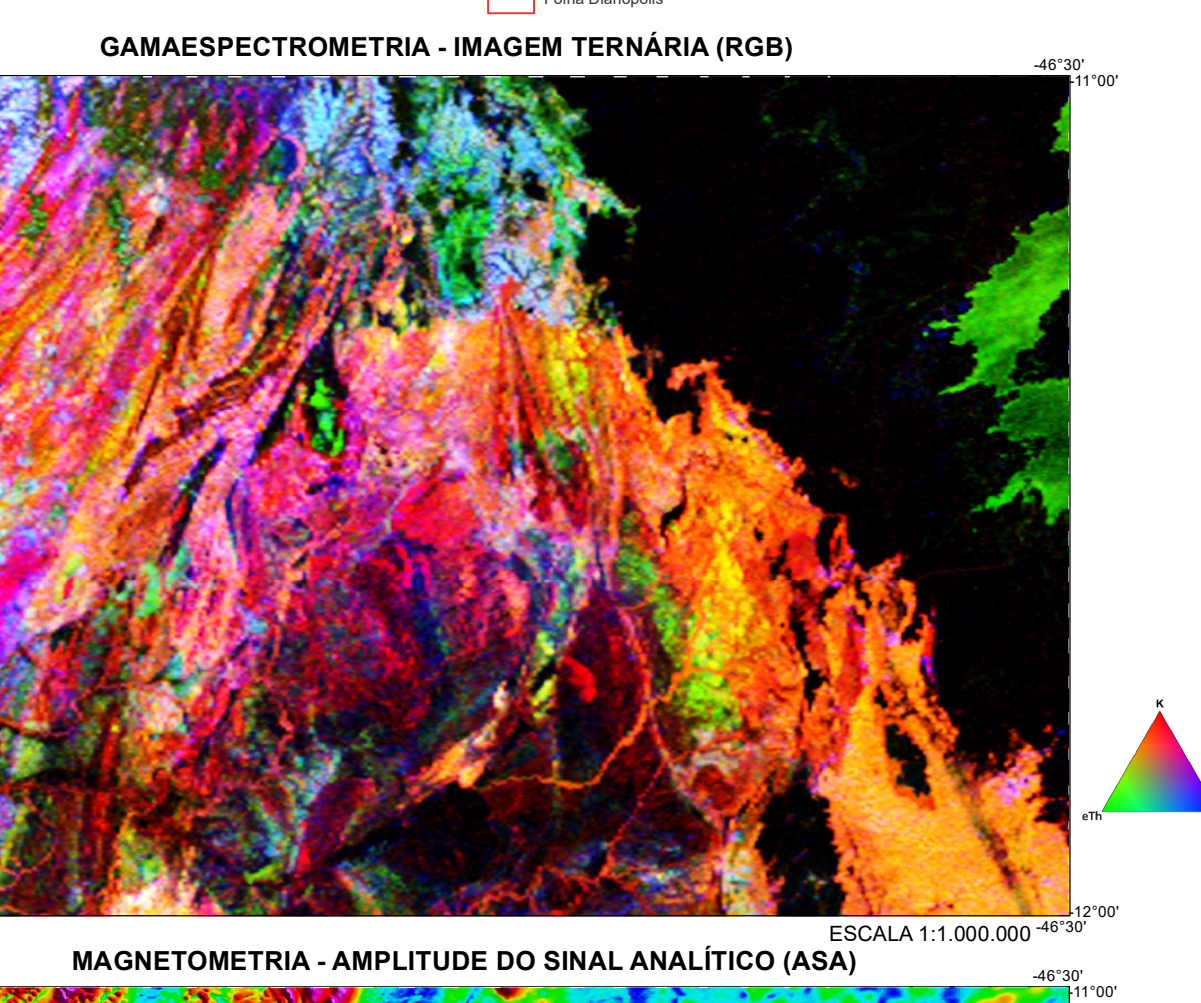


PERÍODO (Ma)	UNIDADES LITOESTRATIGRÁFICAS
Neogenio	Q2a Depósitos aluvionares Q2b Terraplenos aluvionares Q2c Formação Chapadão Q2d Coberturas detritolíticas inconsolidadas
Creáceo	K2ua1 Formação Serra das Aranhas Fases 2 K2ua2 Formação Páua
Paleoceno	P12of Grupo Balsa C2pi Formação Pedra do Fogo C2pi Formação Pinel C2pi Formação Poti D2p Formação Pimenteira D2p Formação Itam S2g Grupo Serra Grande
Neoproterozoico	NP3ic Grupo Bambuí - Bacia de Antaispá NP3ic Formação Lagoa do Jacaré NP3oh Formação Serra de Santa Helena
Ediacarano	E2m Arco Magmático de Goiás E2m Formação Monte do Carmo
Estreletano	E2m Formação Lagoa do Jacaré E2m Formação Serra de Santa Helena
Ordoviciano	O2m Formação Lagoa do Jacaré O2m Formação Serra de Santa Helena
Proterozoico	P22a1 Formação Lagoa do Jacaré P22a2 Formação Serra de Santa Helena P22a3 Formação Serra de Santa Helena
Riásciano	R22a1 Formação Lagoa do Jacaré R22a2 Formação Serra de Santa Helena R22a3 Formação Serra de Santa Helena
Sidériano	S22a1 Formação Lagoa do Jacaré S22a2 Formação Serra de Santa Helena S22a3 Formação Serra de Santa Helena
Archaico	A22a1 Formação Lagoa do Jacaré A22a2 Formação Serra de Santa Helena A22a3 Formação Serra de Santa Helena

UNIDADES LITOESTRATIGRÁFICAS	DESCRIÇÃO
Q2a	Depósitos aluvionares argila, silte, areia e cascalho depositados no leito e planície de inundação dos principais rios.
Q2b	Formação Chapadão: coberturas inconsolidadas de areias in situ ou pouco rebaixadas.
Q2c	Tempo Aluvionares: camadas com até 40 cm de espessura de aglomeração de areia e blocos de quartzos. Subordinadamente quartzitos angulosos a sub-angulosos, pouca matriz arenosa grossa, depositados nas calhas e terras altas das principais calhas.
Q2d	Coberturas detritolíticas inconsolidadas: coberturas detritolíticas inconsolidadas, cascalhos, concreções ferruginosas, blocos e crustas lateríticas constituídas de elementos primários do relevo plano a suavemente ondulado de sedimentos clásticos-terrestres de origem eólica.
N1a	Intrusivos Maficos: diques e corpos máficos.
K2ua1	Formação Serra das Aranhas (Fases 2): paragonômicos e arenitos médio/grossos brancos, com estações planares de médio porte.
K2ua2	Formação Páua: arenitos médio/grossos brancos, com estações planares de médio porte.
P12of	Grupo Balsa: Formação Pedra do Fogo: arenitos médio/grossos brancos, com estações planares de médio porte.
C2pi	Formação Pinel: arenitos médio/grossos brancos, com estações planares de médio porte.
D2p	Formação Pimenteira: arenitos médio/grossos brancos, com estações planares de médio porte.
S2g	Grupo Serra Grande: arenitos médio/grossos brancos, com estações planares de médio porte.
NP3ic	Grupo Bambuí - Bacia de Antaispá: arenitos médio/grossos brancos, com estações planares de médio porte.
E2m	Arco Magmático de Goiás: Formação Monte do Carmo: granodioritos e gabbros.
E2m	Formação Lagoa do Jacaré: granodioritos e gabbros.
O2m	Formação Serra de Santa Helena: granodioritos e gabbros.
P22a1	Formação Lagoa do Jacaré: granodioritos e gabbros.
P22a2	Formação Serra de Santa Helena: granodioritos e gabbros.
P22a3	Formação Serra de Santa Helena: granodioritos e gabbros.
R22a1	Formação Lagoa do Jacaré: granodioritos e gabbros.
R22a2	Formação Serra de Santa Helena: granodioritos e gabbros.
R22a3	Formação Serra de Santa Helena: granodioritos e gabbros.
S22a1	Formação Lagoa do Jacaré: granodioritos e gabbros.
S22a2	Formação Serra de Santa Helena: granodioritos e gabbros.
S22a3	Formação Serra de Santa Helena: granodioritos e gabbros.
A22a1	Formação Lagoa do Jacaré: granodioritos e gabbros.
A22a2	Formação Serra de Santa Helena: granodioritos e gabbros.
A22a3	Formação Serra de Santa Helena: granodioritos e gabbros.



BASE CARTOGRAFICA
Base Planimétrica digital obtida a partir da folha SC.23-Y-C - Dianópolis publicada em 1992 pelo IBGE e ajustada às imagens do Mosaico GeoCover - 2.000 (S-21-05-2000), uterofotográfica e georreferenciada segundo o datum WGS84, de imagens ETM+ do Landsat 7 resultante da fusão das bandas 7, 4, 2 e 8, com resolução espacial de 14,25 metros. Trabalho executado pela Divisão de Cartografia - DICART.

BASE GEOLOGICA
Cartografia geológica gerada a partir da coleta sistemática de dados em campo, integrada às informações consultadas da literatura, interpretação de produtos de sensoriamento remoto (imagens satelitais e fotografias aéreas), inclusive imagens aerofotogramétricas, e demais dados disponíveis até os ajustes no projeto, sob a coordenação geológica, cartográfica e geotécnica.

A carta geológica da Folha SC.23-Y-C - Dianópolis é suportada por banco de dados geológico e de recursos minerais, disponibilizados em versão GIS.

CRÉDITOS DE AUTORIA
Autores: André Mendes Sabão, Paulo Fernando Villas-Bôas Meneghini, Gabriel de Freitas Gonçalves e Joffe Valmorino de Lacerda Filho

Coordenação Técnica Nacional:
Cibele Alves dos Santos, Regina Alves dos Santos, Vladimir Cruz de Medeiros e Patrícia Araújo dos Santos (DIOGEO), Marcelo Estreita de Almeida (DIOGEO), Felipe Medeiros Teixeira (DIOGEO), Luiz Carlos Rodrigues Pinho (DIOGEO), Cassiano Costa Castro (DIOGEO), Lucas Travençolo de Rosa Costa (DIOGEO)

Coordenação Técnica Regional:
Carolina Ferreira da Silva, Cibele Ladeira Alves, Thiago Fagundes e Reginaldo Alves Santos

Paratécnicos: Frederico Ozanam Raposo e André Moraes Sabão

Geólogos: Jaime de Oliveira Scatena, Geófanes, Marcelo Ferreira da Silva e Marcus Flávio Chianine

Geotécnicos: Daniel Barreira Beraldo e Ricardo Pedro Ricardo Soares Bispo, João Rocha de Assis, Liliane Vieira dos Santos e Lúcio Mesquita

Projetistas de Arquivos: Alberto Costa de Oliveira

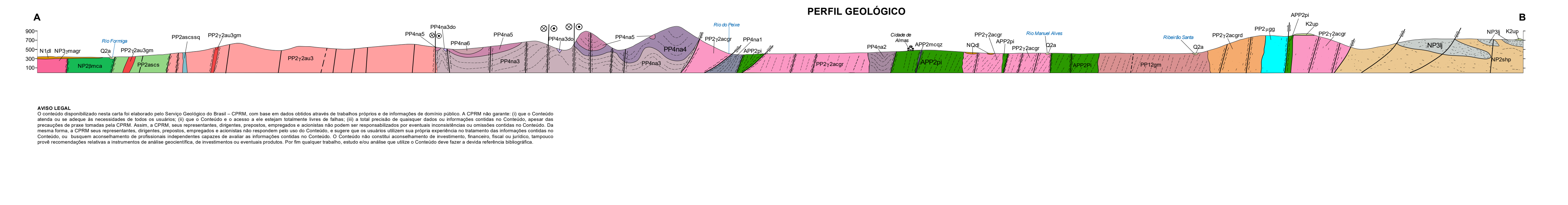
Cartografia Digital: Václavo Patozinski de Silva e Cristiane de Lima Pereira

Servidores: Natália Diniz

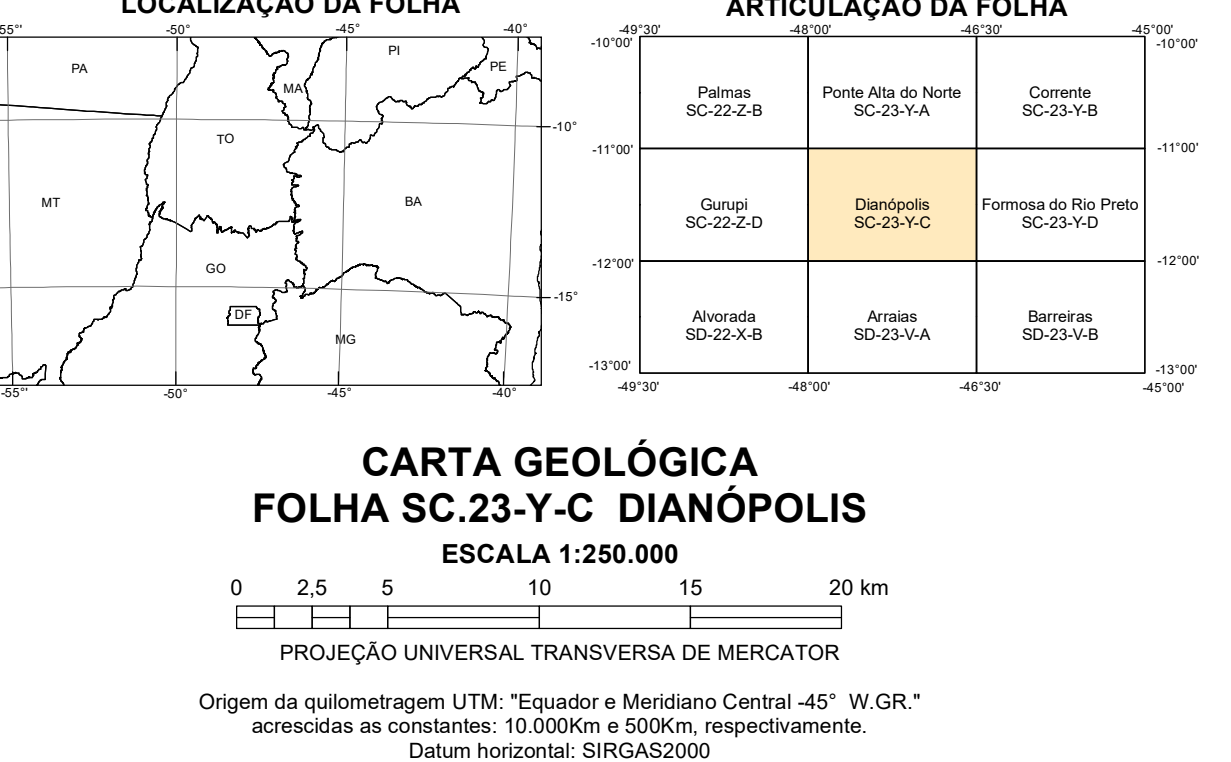
Bibliotecária: Maria Gasparina de Lima e Gisomar Rego de Oliveira

Clube Bibliográfico: (SABÃO et al., 2020) etno Sabão et al., (2020)

Referências Bibliográficas: SABÃO, André Mendes, MENEGHINI, Paulo Fernando Villas-Bôas; GONÇALVES, Gabriel de Freitas; LACERDA FILHO, Joffe Valmorino de. Folha SC.23-Y-C Dianópolis: carta geológica - escala 1:250.000. Goiânia: CPRM, 2020. 1 mapa, cor; Programa Geologia do Brasil.



Convenções Geológicas	Convenções Cartográficas
Contorno	Estação parâmetro de topografia permanente
Sinistral ou uniforme normal com cimento indicado	Estação parâmetro de topografia permanente
Sinistral ou uniforme normal	Estação parâmetro de topografia permanente
Sinistral ou uniforme invertido	Estação parâmetro de topografia permanente
Antidival ou uniforme normal	Estação parâmetro de topografia permanente
Antidival ou uniforme normal com cimento indicado	Estação parâmetro de topografia permanente
Antidival ou uniforme invertido	Estação parâmetro de topografia permanente
Falha controrrotacional	Estação parâmetro de topografia permanente
Falha enobolada	Estação parâmetro de topografia permanente
Falha exterior	Estação parâmetro de topografia permanente
Falha indistintamente	Estação parâmetro de topografia permanente
Falha interpretada pela geofísica: Magnetometria	Estação parâmetro de topografia permanente
Falha ou fratura	Estação parâmetro de topografia permanente
Falha ou fratura aproximada	Estação parâmetro de topografia permanente
Falha ou fratura enobolada	Estação parâmetro de topografia permanente
Falha ou zona de cisalhamento aproximada	Estação parâmetro de topografia permanente
Falha ou zona de cisalhamento enobolada	Estação parâmetro de topografia permanente
Falha ou zona de cisalhamento indistintamente	Estação parâmetro de topografia permanente
Linhas B (leito de obra)	Estação parâmetro de topografia permanente
Linhas de estamamento	Estação parâmetro de topografia permanente
Bandamento gneissico	Estação parâmetro de topografia permanente
Bandamento gneissico vertical	Estação parâmetro de topografia permanente
Chegada de Drenagem vertical	Estação parâmetro de topografia permanente
Chegada de Drenagem vertical	Estação parâmetro de topografia permanente
Foliação tipo C	Estação parâmetro de topografia permanente
Foliação tipo S	Estação parâmetro de topografia permanente
Foliação vertical	Estação parâmetro de topografia permanente
Abastecimento	Estação parâmetro de topografia permanente
Geonomegria	Estação parâmetro de topografia permanente
Pictogramas	Estação parâmetro de topografia permanente
Estromatolitos	Estação parâmetro de topografia permanente
Purli Geométrico	Estação parâmetro de topografia permanente



CARTA GEOLOGICA
FOLHA SC.23-Y-C DIANÓPOLIS
ESCALA 1:250.000

0 2,5 5 10 15 20 km

PROJEÇÃO UNIVERSAL, TRANSVERSA DE MERCATOR

Origem da quilometragem UTM: "Equador e Meridiano Central - 45° W GR." acuradas às constantes: 10.000.000 e 500.000, respectivamente.

Data: 01/08/2020